

熊本大学 正員○吉村亮蔵
同 学生 中島国一
先端保重工 正員 高村 清
同 正員 藤本昭三

2ヒンジアーチ橋、ランガー橋、ローゼ橋などでは鉛直振動の最低振動数は逆対称の一次振動であつて、この振動数は対称一次振動に比べてきわめて低く、単支間の他の構造と著しくその性質を異にする。このために上記のタイプの橋のうちのたゞ1つは通常の場合と異なるためよりも大で、これらの橋の剛性を落す結果となつてゐる。これに対してもランガーブリッジ、ニールセン式橋梁では、鉛直材に代つて斜材あるいは斜吊材を用いるために、逆対称振動数が上り、一般に通常の補剛アーチ橋よりも剛性が大きい。

筆者の一人は文献(1)において、アーチクラウンの水平変位を完全に拘束したとき、その固有振動数および剛性がどのように高くなるかについて発表した。その研究は、通常実際の上路式補剛アーチ橋が解析に使うモデルの構造よりも格段に剛性が高いという多くの実験結果に着目して、試算したものであるが、今回は補剛材あるいは斜材などによつてアーチクラウンを水平に弾性的に拘束した場合について、つまり実際の構造により忠実にモデルを取り上げ、その動的解析の方法を述べ、その拘束効果を調べた結果について報告する。上路式補剛アーチ橋では、トラスド逆ランガー、ニールセン形式によつぱくとも剛性を上げることができるのであろうし、逆対称振動数を高くすることができると思うからである。

1 動的解析の理論

筆者等の論文(2)において2ヒンジアーチ橋、ローゼ橋、つり橋、タンドアーチ橋などがランガーブリッジの動的解析の式と同じ式で解析できることが示されているので、ここでは逆ランガーブリッジについて動的解析の基礎式を説明すれば足りる。

図-1 解析モデル

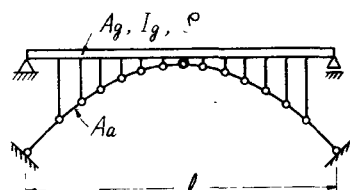
解析のモデルとしては図-1のモデルを考える。この鉛直振動モードは

$$\varphi(x) = \sum_n A_n \sin(n\pi x/l) \quad (1)$$

を表わされるが、対称振動のときは、クラウンは左右に不動であるから、補剛材はアーチに水平拘束を与えない。また逆対称振動のときは $n=4, 8, 12, \dots$ でもクラウンの水平振動はないから、補剛材はアーチに水平拘束を与えるが、ただし $n=2, 6, 10, \dots$ に対して水平拘束を与えることとなる。故に $n=1, 3, 5, \dots ; n=4, 8, 12, \dots$ に対しては文献(2)の逆ランガーブリッジの式を用いればよい。 $n=2, 6, 10, \dots$ の変形に対するものだけが今の場合の問題となる。

アーチスパンの伸び Δl_a は文献(3)によれば

$$\Delta l_a = \sum_j \Delta x_j = \sum_j A g_j \cdot \tan \alpha_j - \sum_j \sec \alpha_j \cdot A s_j \quad (2)$$



ここに、 $\Delta\varphi$ は相鄰る格架の相対位変にわけ、 α はアーテ材の水平との傾き、 A_a は軸力による材のちぢみ。アーテの変形は式(1)で与えられるが、アーテ軸線を放物線とすれば、式(2)の右辺第一項は

$$\left. \begin{aligned} \sum_{x=0}^{x=L} \Delta\varphi \tan \alpha - \int_0^L \tan \alpha \cdot d\varphi \\ = 0 \quad \text{for } n = 1, 3, 5, \dots ; n = 4, 8, 12, \dots \\ = \frac{16f}{L} \sum_{n=1}^{\infty} \frac{a_n}{n\pi} \quad \text{for } n = 2, 6, 10, \dots \end{aligned} \right\} (3)$$

$$\left. \begin{aligned} \sum_{x=0}^{x=L} \Delta\varphi \tan \alpha - \int_0^L \tan \alpha \cdot d\varphi \\ = \frac{16f}{L} \sum_{n=1}^{\infty} \frac{a_n}{n\pi} \quad \text{for } n = 1, 3, 5, \dots \\ = 0 \quad \text{for } n = 2, 4, 6, \dots \end{aligned} \right\} (4)$$

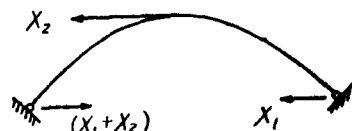
図-1 のアーテスパンは不变であるから常に、

$$\Delta l_a \Big|_0^L = \sum_{x=0}^{x=L} \Delta x = 0 \quad (5)$$

である。今の場合 $n = 2, 6, 10, \dots$ に対して Δl_a の式(2)の右辺第一項は式(4)に示すように 0 であるから、オニ項のみが残る。水平拘束力を X_2 とすれば、アーテの水平反力は図-2 のようになる。やえに

$$\begin{aligned} \Delta l_a \Big|_0^L &= \sum_{x=0}^{x=L} \Delta S \sec \alpha \\ &= \int_0^{L/2} \frac{(X_1 + X_2) \sec^3 \alpha}{A_a E} dx + \int_{L/2}^L \frac{X_1 \sec^3 \alpha}{A_a E} dx \\ &\quad - \int_0^{L/2} \frac{X_1}{A_a E} \sec^3 \alpha dx + \int_{L/2}^L \frac{X_2}{A_a E} \sec^3 \alpha dx \\ &= 0 \\ \therefore 2X_1 + X_2 &= 0 \quad (6) \end{aligned}$$

図-2 拘束力と反力



次に、 $n = 2, 6, 10, \dots$ の変形のときアーテクラウンの水平変位と補剛筋の伸びが等しいから、この条件式をつくると、

$$\frac{X_2}{2} = \sum_{x=0}^{x=L/2} \Delta x = \int_0^{L/2} \tan \alpha \cdot d\varphi - \int_0^{L/2} \Delta S \sec \alpha$$

$$\begin{aligned} \text{式(3)を参照して} \quad &= \frac{16f}{L} \sum_{n=1}^{\infty} \frac{a_n}{n\pi} - (X_1 + X_2) \int_0^{L/2} \frac{\sec^3 \alpha}{A_a E} dx \\ &= \frac{16f}{L} \sum_{n=1}^{\infty} \frac{a_n}{n\pi} - (X_1 + X_2) \frac{L}{2} \left\{ 1 + 8 \left(\frac{f}{L}\right)^2 + 19.2 \left(\frac{f}{L}\right)^4 \right\} \quad (7) \end{aligned}$$

式(6)と(7)から

$$\left. \begin{aligned} X_1 &= -X_2/2 \\ X_2 &= \frac{16EfB}{\pi L^2} \sum_{n=1}^{\infty} \frac{a_n}{n} \end{aligned} \right\} (8)$$

ここで $B = 4A_a A_g / \left\{ 2A_a + A_g \left(1 + 8 \left(\frac{f}{L}\right)^2 + 19.2 \left(\frac{f}{L}\right)^4 \right) \right\}$

$n = 2, 6, 10, \dots$ よりなる振動モード $\varphi(x) = \sum_{n=2, 6, 10, \dots} a_n \sin(n\pi x/L)$ で自由振動するとき、アーテは放物線であるから、クラウンの左右では等大差向き（スパンの半分部分では下向、他の半分部では上向）の等分布周期力 f が補剛筋に、アーテにも同様の等分布周期力 f が働くことになる。このとき軸力導角に次の関係がある。

$$P_a = \frac{X_2}{2} \cdot \frac{\theta f}{l^2}$$

式(9)より

$$-\frac{64 E f^2 B'}{\pi l^4} \sum \frac{Q_n}{n} \quad (9)$$

一方、等分布周期力 $P_a \sin \omega t$ が free body の補剛筋にからくときのたわみ $w(x)$ は、補剛筋のみに質量を考えると、

$$\ddot{w} + \omega_{gn}^2 w = \Phi_{gn}(x) \int \Phi_{gn}(x) P_a dx \sin \omega t \quad (10)$$

を解いて次式となる。

$$w(x) = \sum \frac{\Phi_{gn}(x)}{\omega_{gn}^2 - \omega^2} \int \Phi_{gn}(x) P_a dx \quad (11)$$

ここに、 ω_{gn} 、 Φ_{gn} はそれぞれ補剛筋のみの固有円振動数、正規化した固有振動モード。式(11)の積分は、1/2 節の左右で角の向きが異なるので二項に分けると、

$$\begin{aligned} w(x) &= \sum \frac{\Phi_{gn}(x)}{\omega_{gn}^2 - \omega^2} \left\{ \int_0^{l/2} \Phi_{gn}(x) P_a dx - \int_{l/2}^l \Phi_{gn}(x) P_a dx \right\} \\ &= \sum_{n=2,4,6, \dots} \frac{B P_a}{\pi n P (w_{gn}^2 - \omega^2)} \sin \frac{n \pi x}{l} \end{aligned} \quad (12)$$

式(9)の Q_n は式(12)の $(W_n)_{max}$ に対応するから、式(9)に式(11)の最大値を入れると

$$P_a = \sum P_{an} = \frac{64 E f^2 B'}{\pi l^4} \sum \frac{1}{n} \frac{B P_a}{\pi n P (w_{gn}^2 - \omega^2)} \quad (13)$$

式(12)は free body のアーチに P_a を、free body の補剛筋に角を効かせ両者の変形が等しいという条件から導かれた式である。アーチと補剛筋が一体となって自由振動するとき外力は効かないから、

$$P_a + P_g = 0 \quad (14)$$

式(14)に式(13)を入れると、 $n = 2, 6, 10, \dots$ の形で振動するときの振動方程式(5)が得られる。

$$1 + \frac{512 E f^2 B'}{\pi^2 l^4 P} \sum_{n=2,6,10, \dots} \frac{1}{n^2 (w_{gn}^2 - \omega^2)} = 0 \quad (15)$$

ここに B' は式(8)参照。式(5)より W_n を求め式(12)に入れると n 次の振動モードの式(6)が得られる。

$$\varphi_n(x) = \sum_{n=2,6,10, \dots} \frac{1}{n (w_{gn}^2 - \omega^2)} \sin \frac{n \pi x}{l} \quad (16)$$

ここで、既に知られている対称振動、逆対称振動 ($n = 4, 8, \dots$) について詳記しておこう。対称振動では $n = 1, 3, 5, \dots$ であるから、振動方程式は

$$1 + \frac{512 E f^2 B'}{\pi^2 l^4 P} \sum_{n=1,3,5, \dots} \frac{1}{n^2 (w_{gn}^2 - \omega^2)} = 0 \quad (17)$$

ここに $B = A_0 / [1 + 8 \left(\frac{l}{R}\right)^2 + 19.2 \left(\frac{l}{R}\right)^4]$

$$\text{振動モード } \varphi_n(x) = \sum_{n=1,3,5, \dots} \frac{1}{n (w_{gn}^2 - \omega^2)} \sin \frac{n \pi x}{l} \quad (18)$$

逆対称振動のとき $n = 4, 8, 12, \dots$ ではアーチの軸力が効かず補剛筋のみの振動となり

$$W_n = w_{gn} = \left(\frac{m \pi}{l}\right)^2 \sqrt{\frac{E I}{P}} \quad (19)$$

$$\Phi_n = \sqrt{\frac{2}{P l}} \sin \frac{m \pi x}{l} \quad (20)$$

逆ローゼ, 上路式2ヒンジアーチの動的解析については文献(2)の記述に従う。式(15)~(20)を少しき
修正すればよい。

2. 教道計算

下路の戸崎ランガーブリッジの諸元を用いてそのまま逆ランガーブリッジとし, 水平に弹性拘束を与えた場合を
解き ω を比較すると表-1の通り。

また, $\frac{1}{4}$ 軒のたわみの影響線を比較する
と図-3の通り。

おまけ

上路式の逆ランガーブリッジ, 逆ローゼ等,
2ヒンジアーチ橋が水平弹性拘束を与えたときの動的解析の基礎式を導出し, 逆
対称一次振動数が弹性拘束のときと無拘束のそれと比べると約2倍位に高くなる
ことが知られ, また $\frac{1}{4}$ 軒の影響係数が約
30% 小さくより格段に剛性が上がること
が知られた。

(注)

- (1) 吉村, 田久, 順テロ, 水平変位の拘束による2ヒンジアーチの動的・静的挙動, 土木学会年次講演会, (S. 42.5)
- (2) 吉村, 平井, 補剛アーチ橋およびつり橋の動的半周期解説, 土木学会論文集第
115号 (S. 40.3)
- (3) 吉村, 平井, ランガーブリッジの動的解説, 同上第101号 (S. 39.1)

表-1 ω の比較 (rad/sec)

次数	下路	上路無拘束	上路弹性拘束	上路完全拘束
1	7.374	8.119	8.119	
3	10.287	11.499	11.499	
5	25.904	25.940	25.940	
2	4.136	4.136	7.975	10.794
4	16.542	16.542	16.542	
6	37.220	37.220	37.294	37.386

